

(22) 弾性端水層における被圧地下水の水理について

京都大学防災研究所 正員 速水 順一郎

被圧地下水の古典理論では地下水が流動する粒子間の空隙といつも不变と假定している。しかし現実の端水層はけつして剛体ではなく水圧の変動によって变形するのであって端水層の变形はまた地下水の流動に影響する。被圧地下水の理論にかかる端水層の变形がヒリハラレでは地下水層の進歩であるが、水圧の変動と端水層の变形との関係はまだよく研究されていない。Theis, Jacobsなどの弾性端水層理論では端水層を完全弾性体とし、水圧変動に等しい荷重変動がそのまま端水層に働くと假定している。しかしがかかる單純な假定では実状に則さない点が多い。一般に重力下にある土砂層の圧縮率は圧縮過程に大きく、膨脹過程に小さいのであって、HOOKの法則は適用されない。筆者らは被圧地下水の揚圧水試験によつてこのことを確かめた。端水層に対して水圧低下過程は圧縮過程であり、水圧上昇過程は膨脹過程である。被圧端水層(厚さD)に掘つた縦井戸(半径r)からの揚圧水(揚圧水率Q)による水頭の変動(S)はTheisなどの理論によると(1)式で與えられる。この式では端水層の圧縮率×重力の加速度×水の密度、Kは端水層の透水率、rは井戸からの距離、tは時間を表す。條件を(2)式のようにおけば(1)式の解は(3)式によつて与えられる。時間が相当大きい(3)は(4)式のように改められる。

$$\partial D \cdot \partial S / \partial t = K D / r \cdot \partial (T \cdot \partial S / \partial r) / \partial r \quad \cdots (1)$$

$$t=0, r=r_0 \text{ 时 } S=0$$

$$t>0, r=r_0 \text{ 时 } -2\pi T K D \cdot \partial S / \partial r = Q \quad \cdots (2)$$

$$r \rightarrow \infty \text{ 时 } -2\pi T K D \cdot \partial S / \partial r \rightarrow 0, 0, Q=\text{一定}$$

$$S = Q / 4\pi K D \int_{r_0}^{\infty} \exp(-u) / u \cdot du \\ = Q / 4\pi K D W(\sigma r^2 / 4Kt) \quad \cdots (3)$$

$$S = 2.303 Q / 4\pi K D (\log t / r^2 - \log \sigma / 2.25 K) \quad \cdots (4)$$

$\sigma = \log$ は常用対数を表す。 σ, K は(3)または(4)によつて揚圧水試験から求められ、 σ が水圧変動の過程で変る場合にはそれは次のようにして求められる(国司秀明の方法): 時間tの代りに新変数 $\tau = \int_0^t dt / \sigma$ を導入すると(1), (2)式の形は変わらないから $t=\tau$, $\sigma=1$ とおけば(3), (4)式はそのまま成立する。まず第一近似として $\sigma=\sigma_0$ (常数)とおき揚圧水試験からの求めめる。Kはのが變つて変わるもの。次に σ_0, K を使って $S' = Q / 4\pi K D \times W(\sigma_0 r^2 / 4K\theta) - \theta$ は時間を表す別の記号一の圖

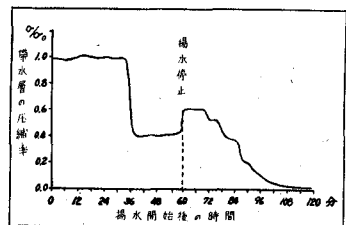


図-1

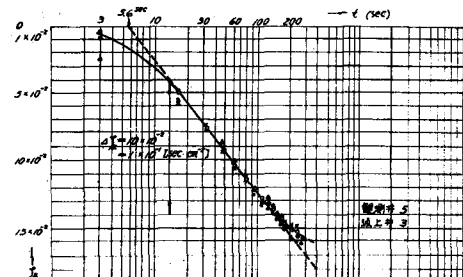


図-2

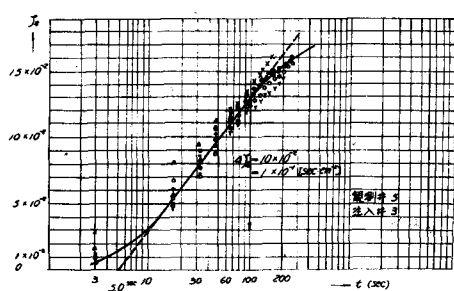


図-3

を描き、観測の S と比較して各時刻 t における S と一致する S' からこれに応ずる θ を求めて、 (t, θ) 曲線を描く。 S と S' とが等しい点では θ の値が等しいから $\sigma_0 r^2 / 4K\theta = r^2 / 4KT \rightarrow \sigma_0 / \theta = 1/T$

$$\rightarrow \int_0^T dt / \theta = \theta / \sigma_0 \rightarrow dt / d\theta = \sigma_0 / \theta \quad \dots (5)$$

すなわち θ の値は (t, θ) 曲線の勾配によって求められる。水圧恢復過程についても同様の方法が

使まる。図-1 はこの方法によって大阪十三での揚水試験から求めた θ の変化を示す。平均して (水圧上昇時の θ / 水圧低下時の θ) = 0.6 である。この傾向は他の場所でみられ、また模型実験によって確認された(赤井浩一)。模型には $5m \times 2.7m \times 1.5m$ の寸法をもつて一側面で水圧を一定にして実験槽を使って揚水実験を行った。この場合側壁の影響は映像を考えればよりから時間が経つた後の S は (4) 式の代りに (6) 式で与えられる。ここに S は

$$S/Q (= S') = 2.303 / 4\pi K D (3 \log t - 3 \log \theta / 2.25 K - \sum 2 \log T_i + \log T_{\bar{A}}^2), i=1, 2, 3 \dots (6)$$

揚水水井戸から側壁までの 2 倍の距離、 T_i は定水圧壁までの 2 倍の距離を表す。図-2, 3 は実験結果の一部を示した t のである。(6)式によつて θ の値は $S=0$ となる時刻 t から得られる。図からこの場合直方に (注水時の θ / 揚水時の θ) = 0.9。以上の考察では端水戸の縮み θ の $D S$ に等置したが端水戸が縮むと被覆地盤は同時に変形し、その内部圧力によつて荷重の一部を負担するようである。尼崎で $260m, 215m$ の端水戸から交互に揚水したとき $150m$ の端水戸では図-4 のように水圧が却つて上昇したがこれはこの関係を暗示するものである。水圧低下過程とその恢復過程とで θ の値が異なるならば揚水-揚水停止のサイクル間に地盤は $\eta(\theta_1 - \theta_2) DS$ だけ沈下するであろう。ここに θ_1, θ_2 はそれぞれ揚水時、揚水停止時の θ の平均値、 S_0 は揚水時の最大水圧低下、 η は係数を表す。筆者はこの考え方を大改の地盤沈下に応用した。図-5 は地盤沈下、図-6, 7 は S_0 の分布を示す。計算に当り T , Q は実測に基き、 $t = 12hr, D = 10m$ 、上部端水戸で $K = 1.0 \times 10^{-3}$ (c.g.s.), $\theta = 2 \times 10^{-6}$ (c.g.s.)、下部端水戸で $K = 1.0 \times 10^{-3}$ (c.g.s.), $\theta = 2 \times 10^{-7}$ (c.g.s.) とした。地盤沈下と S_0 との相関は美麗である。この計算では

は大和
川河口
に散在
する井
戸群と
上町台
地の影
響は考
慮して
いない。

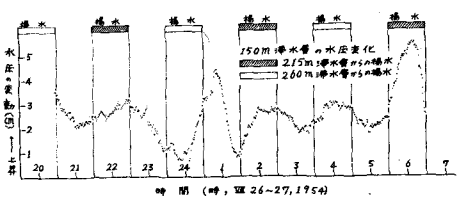


図-4

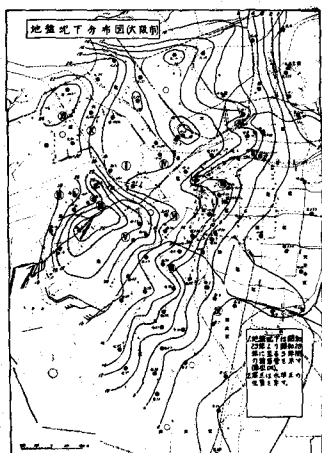


図-5

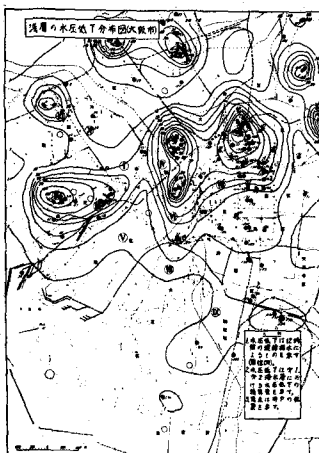


図-6

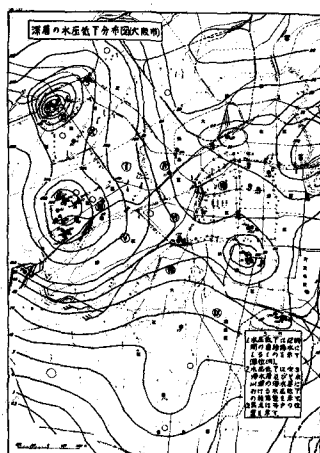


図-7